

# Projeto 1 - F328

Rian Radeck Santos Costa - 187793

Grupo I06

15 de Junho de 2022

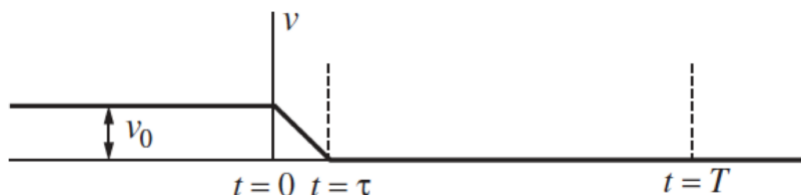
# Sumário

<b>1</b>	<b>Enunciado e avisos</b>	<b>3</b>
<b>2</b>	<b>Radiação emitida</b>	<b>5</b>
<b>3</b>	<b>Átomo de hidrogênio</b>	<b>11</b>
3.1	Um breve resumo sobre o átomo de hidrogênio de Bohr: . . . .	11
3.2	Tempo de colapso . . . . .	12
<b>4</b>	<b>Radiação Síncrotron</b>	<b>15</b>
<b>5</b>	<b>Referências</b>	<b>17</b>
5.1	Figuras . . . . .	17
5.2	Referências bibliográficas . . . . .	17

# 1 Enunciado e avisos

O objetivo deste projeto é estudar a radiação emitida por uma partícula carregada e estudar o resultado em algumas situações reais. Todas as referências bibliográficas estão no fim desse documento.

1. **Radiação emitida:** Para calcular a radiação emitida, considere uma carga que está inicialmente movendo-se em velocidade constante  $v_0$  até  $t = 0$ . Ela sofre então uma aceleração negativa constante com valor  $a = v_0/\tau$ , a qual leva a partícula para o repouso em um tempo  $t = \tau$ . Vamos assumir que  $v_0 \ll c_0$ , onde  $c_0$  é a velocidade da luz no vácuo (veja a figura).



Calcule a energia total do campo eletromagnético transversal (onda eletromagnética) e calcule a potência irradiada.

2. **Átomo de hidrogênio:** Considere um modelo tipo de Bohr para o átomo de hidrogênio, isto é, o elétron realizando uma órbita circular em torno do próton. Utilize valores realistas para o raio de Bohr do átomo de hidrogênio e estime o tempo que levaria para o elétron colapsar no núcleo.
3. **Radiação síncrotron:** Para resolver uma situação relativística, transforme o problema para um referencial  $F'$  no qual a partícula move-se lentamente. Nesse referencial você pode utilizar o resultado obtido anteriormente. Depois transforme para o referencial desejado. Considere agora um elétron altamente relativístico ( $\gamma \gg 1$ ) movendo-se perpendicularmente a um campo magnético  $B$ . Ele é continuamente acelerado perpendicularmente ao campo e deve irradiar. Calcule a radiação síncrotron, isto é a potência emitida pelo elétron. Sugestão:
  - (a) Qual a relação entre a potência irradiada,  $P_{rad}$  emitida em um referencial  $F$  e a potência irradiada,  $P'_{rad}$  em um referencial  $F'$  que é um referencial inercial em relação a  $F$ ?

- (b) Transforme o problema para um referencial  $F'$  que esteja momentaneamente movendo-se com a partícula. Transforme (relativisticamente) os campos e encontre  $P'_{rad}$ . Faça a transformação da potência irradiada de volta para o referencial do laboratório. De posse do resultado, comente as implicações do seu resultado para um colisor circular (tipo LHC) e um síncrotron (tipo Sirius).

## 2 Radiação emitida

A primeira observação que devemos fazer é que enquanto uma partícula carregada está em movimento ela tem um campo fácil de ser observado, como na figura 1.

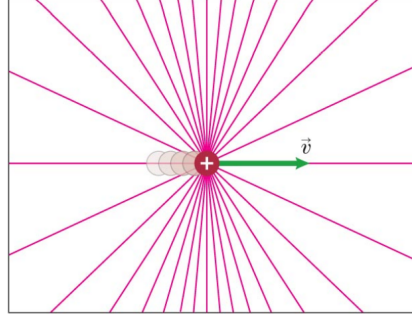


Figura 1: Linhas de campo de uma carga com velocidade constante

Sabemos que a informação sobre a nossa partícula para qualquer ponto no espaço se move na velocidade da luz, portanto o nosso pulso se move nessa velocidade. Também sabemos que, de acordo com as leis do eletromagnetismo clássico, toda partícula que sofre uma aceleração emite radiação e faz um pulso eletromagnético no período de aceleração, dividindo o espaço em três regiões, a interna, que já notou que a partícula está se movendo, a externa, que ainda não notou isso e a intermediária, que chamamos de *ring of kinks*.

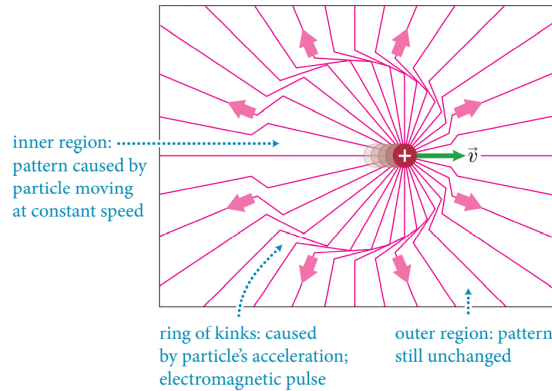


Figura 2: Partícula carregada que saiu do repouso e mantém velocidade constante

Vamos então marcar alguns pontos importantes para calcularmos o campo

na região intermediária e a potência irradiada. Tome um tempo  $t = T \gg \tau$ , teremos o seguinte diagrama:

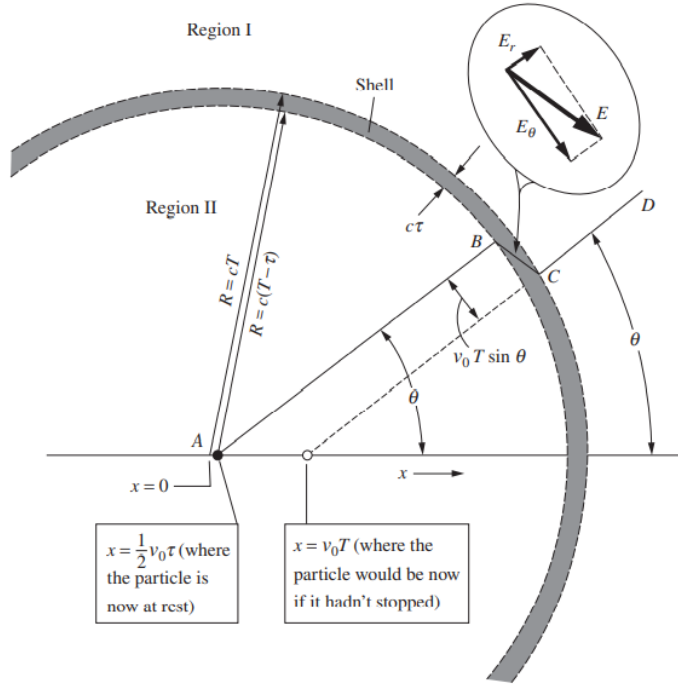


Figura 3: Diagrama para um instante  $t = T \gg \tau$ , um longo tempo após a parada da partícula

Vamos definir  $x = 0$  como o lugar no espaço onde a nossa partícula começou a ser desacelerada e  $t = 0$  como o momento que ela começou a ser desacelerada. Definindo esses referenciais, conseguimos definir nossas regiões e a posição onde nossa partícula irá parar, que será definida pela equação de Torricelli  $v^2 = v_0^2 + 2a\Delta S$ . Portanto nossa partícula estará no repouso em  $x = \frac{1}{2}v_0\tau$ , já que  $a = v_0/\tau$ . Outra posição importante para o nosso diagrama é  $x = v_0T$ , que é onde a partícula estaria se nunca tivesse sido desacelerada. Esse ponto é importante pois é onde os pontos no espaço após o pulso eletromagnético pensam que nossa partícula está, já que eles nunca receberam a informação da desaceleração.

Vamos então definir nossas regiões. Aqui, “Region I” é a região externa ao pulso, que ainda não recebeu a informação que a partícula parou, ou seja está a uma distância maior que  $cT$  do ponto  $x = 0$  ( $R > cT$ ). Similarmente,

“Region II” é a região que já recebeu essa informação, portanto sua distância ao ponto  $x = 0$  é  $R \leq c(T - \tau)$  e a região do pulso que está definida no diagrama como “Shell” é a que está entre as duas definidas anteriormente e tem espessura de  $c\tau$ .

Agora devemos nos perguntar: Qual o formato de uma linha de campo na região de transição? Devemos olhar para a lei de Gauss para obter a resposta. Tome uma linha de campo que sai do ponto A (partícula parada) e atinge o ponto B, no início da região de transição. Essa linha faz uma angulação  $\theta$  com o eixo de viagem da partícula. Sabemos então que esse cone de angulação possui uma certa quantidade de fluxo o atravessando (veja o cone vermelho na imagem.) Se tomarmos um cone que é definido por CD e o eixo de viagem da partícula, de mesmo tamanho porém com seu centro em  $x = v_0 T$  (veja o cone azul na imagem), ele terá o mesmo  $\theta$  e, portanto, terá a mesma quantidade de fluxo atravessando-o. (Observe que isso só é verdade pois  $v_0$  é pequeno quando comparado a  $c$ , o que nos deixa ignorar efeitos relativísticos.) Aliando isso com o fato de linhas de campo não se cruzarem podemos concluir que as linhas de campo AB e CD são a mesma linha e devem estar conectadas por BC.

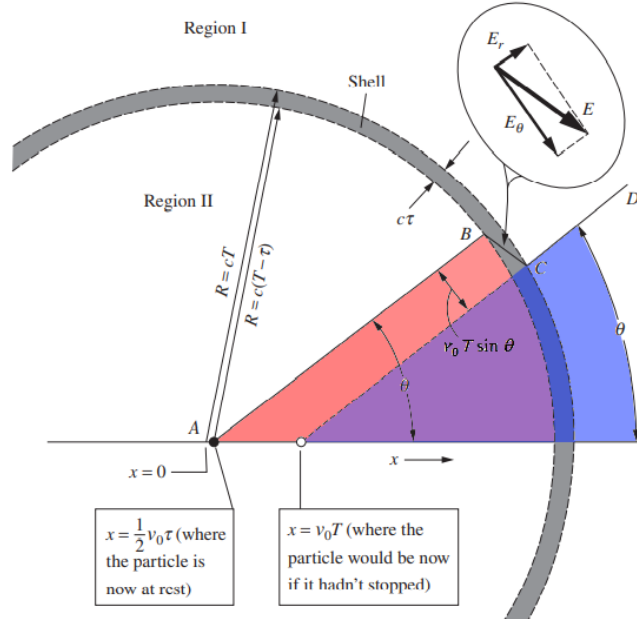


Figura 4: Cones de fluxo destacados do diagrama.

Vamos finalmente calcular o valor do campo na região intermediária. Como sabemos a direção do campo, devemos calcular suas componentes  $E_r$  (componente radial) e  $E_\theta$  (componente transversal). Da geometria do problema podemos concluir que:

$$\frac{E_\theta}{E_r} = \frac{v_0 T \sin \theta}{c\tau} \quad (1)$$

Observe que  $E_r$  não muda na região intermediária, para ver isso basta tomar uma gaussiana com  $c(t - \tau) < R \leq cT$ , veremos que o campo  $E_r$  é constante e a carga envolvida é a mesma. Se tomarmos uma gaussiana equivalente a parte externa da casca ( $R = cT$ ) podemos calcular  $E_r$ .

$$\begin{aligned} \oiint E_r \delta \vec{A} &= \frac{q_{env}}{\epsilon_0} \\ E_r(4\pi R^2) &= \frac{q}{\epsilon_0} \\ E_r &= \frac{q}{4\pi\epsilon_0 R^2} \\ E_r &= \frac{q}{4\pi\epsilon_0 c^2 T^2} \end{aligned} \quad (2)$$

Utilizando o resultado obtido, substituímos na equação 1:

$$E_\theta = \frac{v_0 T \sin \theta}{c\tau} E_r = \frac{qv_0 \sin \theta}{4\pi\epsilon_0 c^3 T \tau} \quad (3)$$

mas,  $v_0/\tau = a$  e  $cT = R$ , então nosso resultado é melhor representado por:

$$E_\theta = \frac{qa \sin \theta}{4\pi\epsilon_0 c^2 R} \quad (4)$$

Como podemos concluir,  $E_\theta$  é proporcional a  $1/R$  e, com o passar do tempo,  $E_r$  se torna negligível quando comparado a  $E_\theta$  portanto,  $E$  será perpendicular a  $\vec{R}$ . De acordo com as equações de Maxwell um campo elétrico variável gera uma corrente de deslocamento, o que causa um campo magnético  $B$  perpendicular a  $E$  e a  $\vec{R}$ , isso é uma das propriedades fundamentais de uma onda eletromagnética.

Vamos então calcular a energia que está guardada no campo elétrico transversal para toda a região intermediária. A densidade de energia de um



campo elétrico  $E$  em determinada região do espaço é definida pela equação  $\frac{1}{2}\epsilon_0 E^2$ , assim para nosso campo elétrico transversal nossa densidade de energia será:

$$\frac{\epsilon_0 E_\theta^2}{2} = \frac{q^2 a^2 \sin^2 \theta}{32\pi^2 \epsilon_0 R^2 c^4} \quad (5)$$

Como o volume da casca será  $4\pi R^2 c\tau$  e o valor médio de  $\sin^2 \theta$  sobre uma esfera completa é  $2/3$  já que  $x^2 + y^2 + z^2 = R^2 \Rightarrow \overline{x^2} = R^2/3$  e  $\cos^2 \theta = x^2/R^2$ , chegamos ao resultado que  $\overline{\cos^2 \theta} = \overline{x^2}/R^2 = 1/3 \Rightarrow \overline{\sin^2 \theta} = 2/3$ . Podemos concluir que a energia total que atravessa o campo elétrico é:

$$\frac{q^2 a^2}{32\pi^2 \epsilon_0 R^2 c^4} \frac{2}{3} 4\pi R^2 c\tau = \frac{q^2 a^2 \tau}{12\pi \epsilon_0 c^3} \quad (6)$$

Para sabermos quanta energia nossa onda magnética carrega vamos olhar para as equações de Maxwell:

$$\begin{aligned} \nabla \times \mathbf{E} &= -\frac{1}{c} \frac{\delta \mathbf{B}}{\delta t} \\ \nabla \times \mathbf{B} &= \frac{1}{c} \frac{\delta \mathbf{E}}{\delta t} + \frac{4\pi}{c} \mathbf{J} \\ \nabla \cdot \mathbf{E} &= 4\pi \rho \\ \nabla \cdot \mathbf{B} &= 0 \end{aligned} \quad (7)$$

Perceba que em um espaço vazio, onde  $\rho$  e  $\mathbf{J}$  são zero, as equações são traduzidas para o seguinte

$$\begin{aligned} \nabla \times \mathbf{E} &= -\frac{1}{c} \frac{\delta \mathbf{B}}{\delta t} \\ \nabla \times \mathbf{B} &= \frac{1}{c} \frac{\delta \mathbf{E}}{\delta t} \\ \nabla \cdot \mathbf{E} &= 0 \\ \nabla \cdot \mathbf{B} &= 0 \end{aligned} \quad (8)$$

Assim fica claro que quando uma onda elétrica viaja pelo espaço vazio, uma onda magnética de mesma intensidade e perpendicular a ela (e a direção de propagação) deve surgir, como na figura a seguir

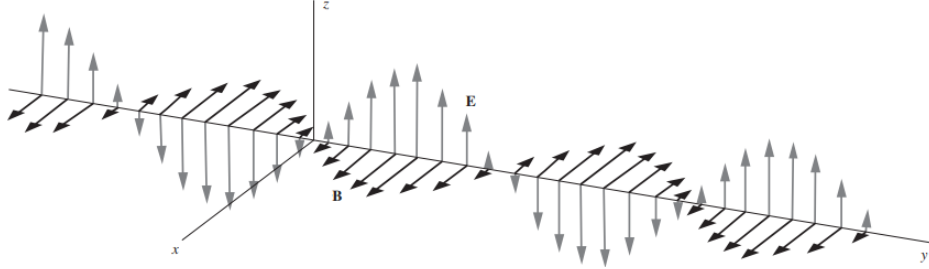


Figura 5: Onda eletromagnética viajando pelo espaço vazio no eixo  $y$

Assim a energia total de nossa onda será o dobro da energia da onda elétrica.

$$\text{Energia total propagada pelo campo eletromagnético} = \frac{q^2 a^2 \tau}{6\pi \epsilon_0 c^3} \quad (9)$$

Perceba que o raio  $R$  não participa mais da nossa equação, isso significa que essa quantidade de energia simplesmente passeia pelo espaço, se distanciando da partícula, com a velocidade da luz, a partir do local da desaceleração ( $x = 0$ ). Como  $\tau$  é o período da desaceleração, e também a duração do pulso eletromagnético, podemos declarar que a potência irradiada durante o processo de desaceleração foi:

$$P_{rad} = \frac{q^2 a^2}{6\pi \epsilon_0 c^3} = \mu_0 \frac{q^2 a^2}{6\pi c} \quad (10)$$

Esse resultado é bem conhecido e chamado de fórmula de Larmor.

Perceba também que não importa se nossa partícula está acelerando ou desacelerando, só importa a magnitude da aceleração. Complementando a ideia de diferentes referenciais,  $P_{rad}$  é uma grandeza invariante de *Lorentz*, já que  $P_{rad}$  é *energia / tempo*, e energia se transforma como o tempo na teoria da relatividade especial de Einstein.

Aqui nós obtemos o seguinte resultado: A equação 10 nos dá a taxa instantânea de irradiação de energia de uma partícula carregada que sofre uma variação de aceleração. Isso é muito útil e pode ser utilizado em diversas aplicações, afinal, ondas eletromagnéticas movem o mundo.

### 3 Átomo de hidrogênio

Aqui vamos trabalhar com o modelo atômico de Rutherford e não o de Bohr, já que Bohr fez correções ao modelo planetário de Rutherford utilizando ideias de teoria quântica de Planck, os conceitos de Einstein sobre o fóton e a mecânica clássica Newtoniana. Recomendo a leitura da seção 42.3 do livro “Física para cientistas e engenheiros, 2ª ed. (Brasil), 2018”, dos autores Jewett & Serway para uma descrição mais detalhada do modelo atômico de Bohr.

#### 3.1 Um breve resumo sobre o átomo de hidrogênio de Bohr:

Bohr propôs que o elétron na órbita do átomo de hidrogênio, só ocupasse determinadas regiões do espaço, onde ele não irradiaria e perderia energia colapsando no núcleo. Essas órbitas propostas eram circulares e ele as chamou de “estados estacionários”.

Bohr propôs que o elétron poderia “saltar” de uma órbita (estado estacionário) para outra se liberasse energia em forma de fóton, indo para uma órbita menos energética, ou se recebesse a energia de um fóton, o que causaria que o elétron fosse para um estado mais energético.

Uma análise um pouco mais quantitativa é dizer que as órbitas permitidas seriam aquelas que o momento angular do elétron seria um múltiplo inteiro de  $\hbar = h/2\pi$ , onde  $h$  é a constante de Planck.

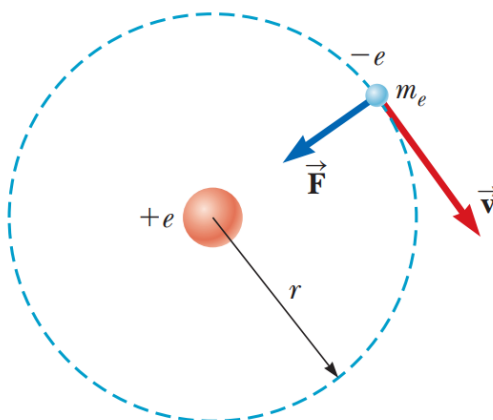


Figura 6: Modelo do átomo de hidrogênio de Bohr

### 3.2 Tempo de colapso

Bom, esclarecido o comportamento do átomo de Bohr, vamos então trabalhar com o modelo de Rutherford, que permite raios arbitrários para a órbita do elétron.

De acordo com a teoria do eletromagnetismo de Maxwell, cargas com aceleração centrípeta com frequência de revolução  $f$ , devem irradiar ondas eletromagnéticas com frequência  $f$ , assim o modelo atômico de Rutherford é guiado para autodestruição.

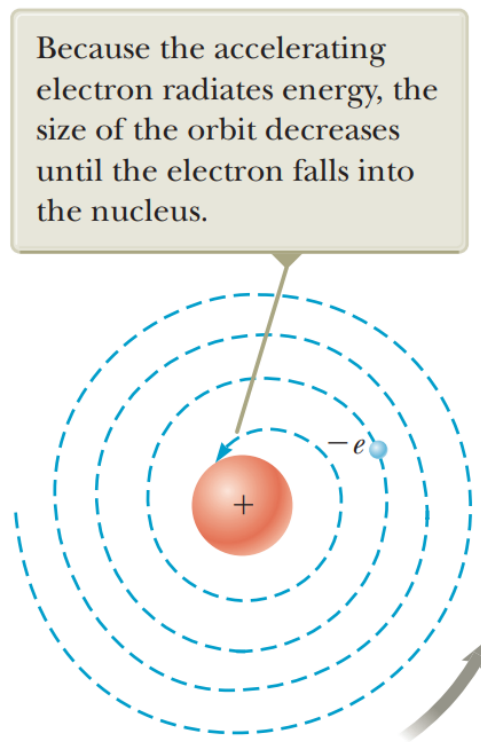


Figura 7: O modelo atômico de Rutherford prevê seu decaimento

Vamos esclarecer alguns parâmetros para o nosso problema:

- O elétron está sempre em uma órbita quase que perfeitamente circular ( $v \approx v_\theta \gg v_r$ ).
- A taxa de perda energética é bem representada pelo resultado clássico obtido na seção 2 desse documento.

Dessa maneira podemos equacionar que a força centrípeta será igual a força elétrica.

$$\frac{mv^2}{R} = \frac{e^2}{4\pi\epsilon_0 R^2} \Leftrightarrow \frac{v^2}{R} = \frac{e^2}{4\pi\epsilon_0 m r^2} \quad (11)$$

onde  $v^2/R$  é a aceleração do elétron.

Vamos agora equacionar a energia total presente no sistema:

$$E = K + U = \frac{mv^2}{2} - \frac{e^2}{4\pi\epsilon_0 R} = -\frac{e^2}{8\pi\epsilon_0 R} \quad (12)$$

onde  $E$  é a energia total do sistema,  $K$  é a energia cinética e  $U$  a energia potencial.

O período de rotação será

$$T = \frac{2\pi R}{v} = \frac{1}{|e|} \times 4\sqrt{\pi^3 \epsilon_0 m R} \quad (13)$$

Podemos supor que a energia irradiada em uma revolução é muito menor que a energia total, o que nos deixa trabalhar com  $R$  sendo uma função do tempo, portanto  $R = R(t)$ . Então vamos calcular a energia irradiada em uma revolução:

$$P_{rad}T = \mu_0 \frac{e^2 a^2}{6\pi c} T = \mu_0 \frac{e^2 v^2}{6\pi c R^4} \quad (14)$$

Vamos agora calcular a mudança na energia total em uma revolução:

$$\begin{aligned} E(R(t+T)) - E(R(t)) &= -\frac{e^2}{8\pi\epsilon_0 R(t+T)} - \left[-\frac{e^2}{8\pi\epsilon_0 R(t)}\right] \\ &\approx \frac{e^2 T}{8\pi\epsilon_0 R^2(t)} \frac{\delta R(t)}{\delta t} \end{aligned} \quad (15)$$

pois  $R(t+T) = R(t) + T \frac{\delta R(t)}{\delta t}$ . Também é comum escrever  $\frac{\delta R(t)}{\delta t}$  como  $\dot{R}(t)$

Como podemos ver chegamos a uma equação diferencial

$$\frac{\delta R(t)}{\delta t} = -\frac{\mu_0 c e^4}{12\pi^2 m^2 R^2(t)} \Leftrightarrow R^2(t) \frac{\delta R(t)}{\delta t} = -\frac{\mu_0 c e^4}{12\pi^2 m^2} \delta t \quad (16)$$

Integrando a equação 16:

$$\begin{aligned} \int R^2 \delta R &= -\frac{\mu_0 c e^4}{12\pi^2 m^2} \int \delta t \\ \frac{R^3}{3} &= -\frac{\mu_0 c e^4}{12\pi^2 m^2} t + K \end{aligned} \quad (17)$$

onde  $K$  é a constante de integração. Se tomarmos no tempo  $t = 0$  nosso raio como o raio de Bohr  $R_0$ , nossa constante  $K = \frac{R_0^3}{3}$  e temos um resultado mais representativo para a realidade que será:

$$R_0^3 - R^3(t) = \frac{\mu_0 c e^4}{4\pi^2 m^2} t \quad (18)$$

Finalmente podemos obter o tempo de colapso do átomo de hidrogênio de Rutherford/Bohr

$$R(\tau) = 0 \Rightarrow \tau = \frac{4\pi^2 m^2}{\mu_0^2 c e^4} R_0^3 \quad (19)$$

Utilizando

$$\begin{aligned} c &= 2.99 \times 10^8 \text{ m} \cdot \text{s}^{-1} \\ m &= 9.11 \times 10^{-31} \text{ kg} \\ e &= -1.6 \times 10^{-19} \text{ C} \\ \mu_0 &= 1.256 \times 10^{-6} \text{ kg} \cdot \text{m} \cdot \text{s}^{-2} \cdot \text{A}^{-2} \\ R_0 &= 5.29 \times 10^{-11} \text{ m} \end{aligned}$$

obtemos

$$\tau = 1.57 \times 10^{-11} \text{ s}$$

## 4 Radiação Síncrotron

Seja  $v$  a velocidade do elétron no referencial  $F$  na terra, vamos calcular então seu campo no referencial  $F'$  que é o referencial que se move com o elétron em um dado instante  $\delta t$ . Usando as transformadas de Lorentz, o campo elétrico em  $F'$  será  $E' = \gamma v \times B'$ .

Vamos então calcular  $E'$  e  $B'$  de acordo com as transformadas de Lorentz

$$\begin{aligned}
 E' &= -v \times B \\
 B' &= \frac{1}{c^2} v \times E \\
 E'_x &= E_x \\
 E'_y &= \gamma(E_y - vB_z) \\
 E'_z &= \gamma(E_z + vB_y) \\
 B'_x &= B_x \\
 B'_y &= \gamma(B_y + \frac{v}{c^2} E_z) \\
 B'_z &= \gamma(B_z - \frac{v}{c^2} E_y)
 \end{aligned} \tag{20}$$

perceba então que para nossa situação  $B' = B$ .

Antes de prosseguir com os cálculos, observe que em  $F'$

$$\Delta t = \gamma \Delta t' \iff \Delta x' = 0$$

$$U = \gamma U' \iff p' = 0$$

Aqui  $U$  representa a energia. Isso implica então que  $\Delta U / \Delta t = \Delta U' / \Delta t' \implies P = P'$  então, antes de qualquer cálculo, sabemos que nossa radiação emitida será a mesma nos dois referenciais. Vamos então calcular  $P'$  em relação ao campo magnético  $B$  e as constantes relativísticas.

Como já descobrimos  $E' = \gamma v \times B$ , esse campo faz com que a partícula acelere no referencial  $F'$ , ou seja  $v'$  começa a crescer e será diferente de 0 em  $F'$  após o instante que estamos analisando. Desenvolvendo a equação  $F = m_e a \implies eE' = m_e a \implies a = eE' / m_e$ , obtemos a aceleração do elétron. Utilizando o resultado da equação 10, essa aceleração causa uma irradiação no elétron a uma taxa de

$$P' = \frac{q^2 a^2}{6\pi\epsilon_0 c^3} = \frac{e^2 (eE' / m_e)^2}{6\pi\epsilon_0 c^3} = \frac{e^4 \gamma^2 v^2 B^2}{6\pi\epsilon_0 c^3 m_e^2} \approx \frac{e^4 \gamma^2 B^2}{6\pi\epsilon_0 m_e^2 c} \tag{21}$$

e a aproximação final foi feita devido ao fato de nosso elétron ser altamente relativístico.

Veja que após o instante de tempo  $\delta t$  devemos escolher um novo referencial  $F''$  que o elétron esteja parado ( $v'' = 0$ ), já que ele está em constante processo de aceleração ( $v' \neq 0$  após um  $\delta t$ ), um instante após o outro.



## 5 Referências

### 5.1 Figuras

Figuras 1 e 2: Mazur, Eric, Principles & Practice of Physics, Pearson Education (2015)

Figuras 3 e 5: Purcell, Edward M. & Morin, David J., Electricity and Magnetism, Cambridge University Press (3rd edition, 2013) (1st edition, vol. 2 da Coleção de Física de Berkeley, 1963).

Figuras 6 e 7: Jewett & Serway, Física para cientistas e engenheiros, Cengage (9a ed. (EUA), 2a ed (Brasil), 2018).

### 5.2 Referências bibliográficas

Mazur, Eric, Principles & Practice of Physics, Pearson Education (2015)

Bauer, Westfall & Dias, Física para Universitários, McGraw-Hill (1a ed., 2012)

Halliday, Resnick & Walker, Fundamentos de Física, LTC (10a ed., 2012).

Jewett & Serway, Física para cientistas e engenheiros, Cengage (9a ed. (EUA), 2a ed (Brasil), 2018).

Purcell, Edward M. & Morin, David J., Electricity and Magnetism, Cambridge University Press (3rd edition, 2013) (1st edition, vol. 2 da Coleção de Física de Berkeley, 1963).

Nussenzveig, H.M., Eletromagnetismo, Curso de Física Básica, vol. 3, Ed. Edgard Blücher, (1997).

[Abraham–Lorentz force \(Wikipedia\)](#)

[Larmor formula \(Wikipedia\)](#)

[Bohr radius \(Wikipedia\)](#)

[Vacuum permeability \(Wikipedia\)](#)

[LIÉNARD’S GENERALIZATION OF THE LARMOR FORMULA FOR AN ACCELERATING CHARGE \(physicspages\)](#)

[SYNCHROTRON RADIATION \(physicspages\)](#)

[Lecture 18 of Relativity & Electromagnetism from The University of Edinburgh](#)

[Classical Lifetime of a Bohr Atom James D. Olsen and Kirk T. McDonald Joseph Henry Laboratories, Princeton University, Princeton, NJ 08544 \(March 7, 2005; updated May 30, 2017\)](#)